

*Н.С. Шарипова¹, В.М. Смелков¹, Г.П. Каюкова², А.М. Миннегалиева²,
М.В. Дахнова³, Т.Н. Жеглова³*

¹Казанский государственный университет, г.Казань, каф.gng@ksu.ru

²Институт органической и физической химии, Казань

³ВНИГНИ, г.Москва

ОСОБЕННОСТИ ГЕНЕРАЦИИ И АККУМУЛЯЦИИ УГЛЕВОДОРОДОВ В ЗОНАХ РАЗЛОМОВ (НА ПРИМЕРЕ АЛТУНИНО-ШУНАКСКОГО ПРОГИБА)

Проведена дифференциация по наиболее информативным биомаркерным параметрам битумоидов из пород продуктивных пластов среднего и верхнего девона месторождений Татарстана, расположенных в прибрежных зонах Алтунино-Шунакского прогиба и удаленных от прогиба площадей. Сделано предположение о наличии в пределах изучаемой территории двух источников генерации углеводородов. Анализ вариаций параметров показал приуроченность наиболее «зрелых» битумоидов к площадям вблизи прогиба.

Введение

Определяющее значение в распределении залежей нефти и газа в продуктивных комплексах нефтегазоносных территорий имеют разломы и зоны трещинноватости пород, возникающие на различных этапах тектогенеза кристаллического фундамента и осадочной толщи (Муслимов, 2000; Христофорова и др., 1999). Для подавляющего большинства нефтяных месторождений существует тесная связь с разрывными нарушениями, однако наличие нарушений не является определяющим и достаточным признаком для поиска нефти. Только определенный тип разрывных нарушений (Грофимов и др., 2002) может рассматриваться как нефтепроводящий. В связи с этим актуальной становится проблема поиска признаков, свидетельствующих о связи нефтеносности с разрывными нарушениями.

Для нефтепоисковых работ заслуживают внимания «активные» разломы, к которым относится Алтунино-Шунакский, отражающийся в терригенной толще девона в виде одноименного грабенообразного прогиба, разделяющего уникальное Ромашкинское и Ново-Елховское месторождения Южно-Татарского свода. Его тектоническая природа, история развития и влияние на нефтеносность осадочного чехла рассматривались в работах А.М. Мельникова, В.И. Троепольского и др. (1973). По данным И.А. Ларочкиной (2004), прогиб субмеридионального профиля был заложен в виде разлома в рифейское время. Основная активизация Алтунино-Шунакского разлома имела место в эйфельско-кыновское время. Позднее прогиб устойчиво продолжал свое развитие, о чем свидетельствуют увеличенные мощности всех горизонтов осадочного чехла в его осевой зоне.

Для выявления особенностей генерации и признаков поступления глубинных углеводородов в отложения девона Южно-Татарского свода проведены геохимические исследования рассеянного органического вещества (ОВ) и хлороформенных битумоидов (ХБА) из образцов керна, отобранных из скважин, расположенных вблизи Алтунино-Шунакского прогиба и удаленных от прогиба площадей. Использовали как стандартные методы исследований, так и новейшие, среди которых наиболее информативный – компьютеризированная хроматомасс-спектрометрия для определения состава высших полициклических биомаркерных углеводородов (стеранов, три- тетра- и пентациклических терпанов). Согласно современным представлениям (Петров, 1984; Waple и др., 1990), закономерности распределения биомаркеров в

различных геологических объектах являются характерным для них «отпечатком пальцев» и дают возможность определить первичный генетический тип, природу исходного органического вещества и условия генерации углеводородов.

Образцы для исследований (табл. 1) были подобраны не только с учетом расположения скважин, но и литологического состава пород-коллекторов (песчаники, известняки). Некоторые образцы специально отбирались из одной и той же скважины, как из интервалов песчаных пластов с явными признаками нефтенасыщенности, так и из малопродуктивных аргиллитов доманикового горизонта – предположительно, нефтематеринских пород.

Результаты и их обсуждение

Результаты изучения наиболее представительных образцов керна методом Rock-Eval (табл. 2) показали, что только в двух из них (Ямашинская площадь, обр. 3 и 4) можно предположить присутствие, в основном, сингенетичного ОВ. Содержание общего органического углерода (C_{org}) в этих образцах превышает 4%, содержание ХБА составляет 0,4 – 0,6%. Судя по максимальной температуре деструкции органического вещества ($T_{\text{max}} = 426 – 428^{\circ}\text{C}$), зрелость пород соответствует концу протокатаагенеза.

№	Площадь, № скв./№ обр.	Возраст	Глубина, м	Литология
1	Уратьминская, 792/3	D ¹ ₃ dm	1626,0 – 1627,5	Известняк
2	Уратьминская, 792/5	D ¹ ₃ dm	1638,0 – 1641,0	Аргиллит
3	Ямашинская, 554/2	D ¹ ₃ dm	1731,0 – 1735,5	Известняк
4	Ямашинская, 554/6	D ¹ ₃ sr	1734,5 – 1788,5	Аргиллит
5	Березовская, 32875/6	D ¹ ₃ pš	1766,8 – 1770,0	Аргиллит
6	Березовская, 21567/31	D ² ₂ st	1869,0 – 1876,0	Песчаник
7	Альметьевская, 21186/1	D ² ₂ st	1817,0 – 1826,0	Песчаник
8	Абдрахмановская, 23513/1	D ¹ ₃ pš	1814,0 – 1816,0	Аргиллит
9	Абдрахмановская, 23513/2	D ¹ ₃ pš	1809,0 – 1810,0	Песчаник
10	Павловская, 19417/10	D ² ₂ st	1844,0 – 1850,0	Песчаник
11	Кармалинская, 19077/3	D ¹ ₃ dm	1755,0 – 1756,0	Известняк
12	Тлянчи-Тамакская, 523/188	D ¹ ₃ pš	1622,5 – 1629,5	Песчаник
13	Тлянчи-Тамакская, 531/119	D ¹ ₃ pš	1740,0 – 1742,0	Песчаник
14	Березовская, 21534/11, 12	D ¹ ₃ dm	1805,0 – 1808,0	Известняк
15	Березовская, 13478/5	D ¹ ₃ dm	1759,0 – 1760,5	Мергель
16	Акташская, 3286 /1	D ¹ ₃ pš	1852,0 – 1857,0	Песчаник
17	Акташская, 2438 /17	D ¹ ₃ pš	1762,0 – 1772,0	Песчаник
18	Ромашкинская, 14897 /2	D ¹ ₃ pš	1755,0 – 1755,6	Песчаник
19	Зай-Каратайская, 12883/25	D ¹ ₃ pš	1816,0 – 1822,0	Песчаник

Таблица 1. Общая характеристика исследованных объектов.

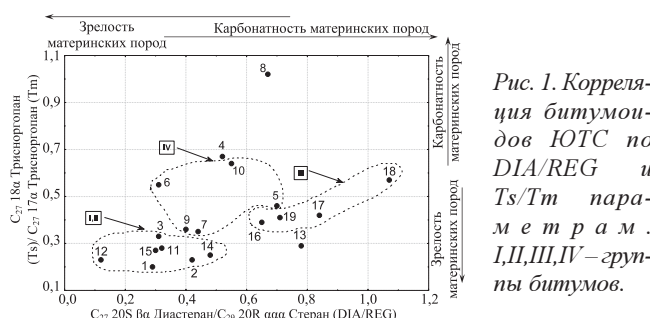


Рис. 1. Корреляция битумоидов IOTC по DIA/REG и Ts/Tm параметрам с терпанами. I, II, III, IV – группы битумов.

В образцах Березовской (6), Альметьевской (7), Абдрахмановской (9) и Павловской (10) площадей ОВ представлено преимущественно эпигенетическими битумоидами. На это указывает значительное превышение свободного нефтенсодержания в породе (величина пика S_1) над количеством углеводородов, образовавшихся в ходе деструкции керогена (величина пика S_2). Некоторые из битумоидов, вероятно, являются так называемыми остаточными нефтями. Групповой состав битумоидов сильно варьирует. В сингенетических битумоидах доля углеводородов составляет 25–30%, а 70–75% приходится на смолисто-асфальтеновые компоненты. В эпигенетических битумоидах содержание углеводородов заметно выше (до 58%) и, следовательно, ниже содержание смолисто-асфальтеновых компонентов.

Сингенетические битумоиды

Из исследованных образцов сингенетических битумоидов Ямашинской площади один (4) – приурочен к аргиллитам саргаевского горизонта верхнего девона, а другой (3) – к карбонатным отложениям доманикового горизонта (табл. 1). В распределении биомаркеров этих битумоидов наблюдаются специфические различия, характерные для разнотипных по минералогическому составу материнских пород – преимущественно, глинистых и карбонатных. В аргиллитах, по сравнению с карбонатными породами, увеличивается содержание диастеранов (перегруппированных стеранов) относительно стеранов регулярного строения (DIA/REG = 0,52 против 0,32), а также C_{27} 18α(H) триисопропана (Ts) относительно C_{27} 17α(H) триисопропана (Tm) (Ts/Tm = 0,67 против 0,33) (Рис. 1). Повышенные значения этих параметров, согласно современным представлениям, обусловлены образованием диастеранов и Ts в результате скелетных перегруппировок регулярных стеранов и Tm, протекающих в диагенезе и катализируемыми глинистыми минералами. В карбонатных породах эти процессы чаще всего незначительны. Однако известно, что увеличение их значений может быть обусловлено не только литологическим составом генерирующих пород, но и более высокими стадиями катагенеза исходного ОВ. Исследования керна по методу Rock-Eval свидетельствуют о незрелости обоих образцов, что следует из значений (T_{max}) пиролиза (табл. 2).

Величины стерановых параметров термической зрелости для эпимеров стеранов C_{29} : 5α(20S)/5α(20R) и 14β17β(20R)/5α(20R) (Рис. 2) ниже равновесных значений,

что подтверждает данные пиролиза о незрелости этих образцов. Различия этих значений свидетельствуют о более низкой зрелости битумоида из терригенных пород по сравнению с битумоидом из карбонатных. Так, в распределении стеранов образца 3 преобладают $\alpha\alpha\alpha$ -изомеры стеранов над $\alpha\beta\beta$ -изомерами (изостеранами), тогда как в образце 4, наоборот, изостераны доминируют над $\alpha\alpha\alpha$ -стеранами. Это говорит о том, что в материнском ОВ битума из карбонатных пород не закончилась реакция эпимеризации 17-го и 20-го атомов углерода в исходных $\alpha\alpha\alpha$ -стеридах, поэтому конверсия их в изостераны невелика. Значение отношения изостеранов к $\alpha\alpha\alpha$ -стеранам C_{29} ($\alpha\beta\beta(20R)/\alpha\beta\beta(20R) + \alpha\alpha\alpha(20R)$ для последнего составляет 0,40 против 0,62 – для образца 3 из карбонатных пород.

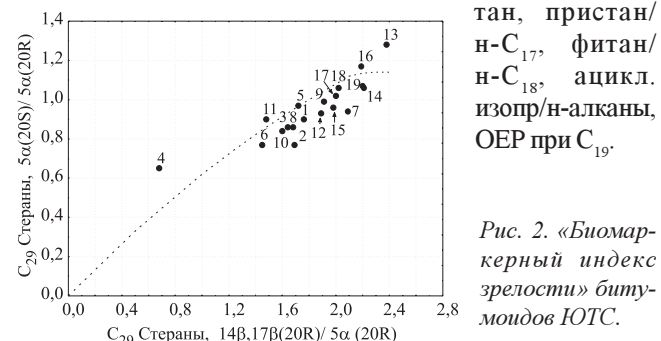
Таким образом, менее зрелый битумоид из терригенных отложений характеризуется более высокими значениями биомаркерных параметров DIA/REG и Ts/Tm, чем более зрелый образец из карбонатных. Следовательно, возрастание этих значений, в первую очередь, связано с литологическим составом материнской породы, а не с возрастанием катагенеза исходного ОВ.

В целом, битумоиды саргаевского и доманикового горизонтов имеют схожие молекулярные характеристики, указывающие на их связь с близким по типу ОВ. Небольшое преобладание в распределении биологических (20R) эпимеров $\alpha\alpha\alpha$ -стеранов C_{27} гомолога для терригенного образца и почти равные концентрации C_{27} и C_{29} стеранов в карбонатном; присутствие, наряду с регулярными C_{27} - C_{29} стеранами, C_{30} стеранов; низкое содержание трициклических терпанов относительно пентациклических (Рис. 3 и 4); высокое содержание гомогопанов состава C_{31} - C_{35} относительно C_{30} гопана, свидетельствуют о морском генезисе этих битумов. Низкие значения отношения пристан/фиран (< 1) подтверждают сделанный вывод.

Отмеченные различия в значениях отдельных биомаркерных параметров битумоида из терригенных и карбонатных отложений могут свидетельствовать о наличии направленных изменений фациально-генетического типа материнского ОВ по разрезу отложений верхнего девона.

Дифференциация битумоидов по группам

Анализ геохимических данных по распределению налканов, ациклических изопреноидов и полициклических биомаркерных углеводородов в хлороформенных экстрактах из пород позволил объединить с помощью кластерного анализа исследованные образцы битумоидов в четыре группы (Рис. 5). В качестве исходных использовались 16 наиболее информативных параметров, характеризующих тип материнского ОВ и условия его диагенеза: GAM/HOP, DIA/REG, PREG/C₂₇, TRI/HOP, TET/TRI, Ts/Tm, NOR/HOP, NEO/NOR, hC₃₅/hC₃₄, STER/PENT, HC₃₀/SC₂₉, пристан/фиран, пристан/n-C₁₇, фитан/n-C₁₈, ацикл. изопр/налканы, ОЕР при C₁₉.



№ обр.	НОП, %	C _{опр.} , %	ХБА, %	Параметры пиролиза		
				S ₁ , мг/г	S ₂ , мг/г	T _{max} , °C
3	31.0	4.52	0.6291	1.75	29.17	425.9
4	68.0	3.87	0.4403	1.16	17.74	428.2
6	96.0	0.04	1.3058	7.94	3.98	401.9
7	100.0	0.01	1.9141	16.34	4.87	395.9
9	100.0	1.08	1.2985	6.54	3.44	413.7
10	98.0	0.06	0.9910	5.76	2.34	376.0

Табл. 2. Результаты исследований методом Rock-Eval.



Рис. 3. Корреляция битумоидов IOTC по STER/PENT и TRI/HOP параметрам.

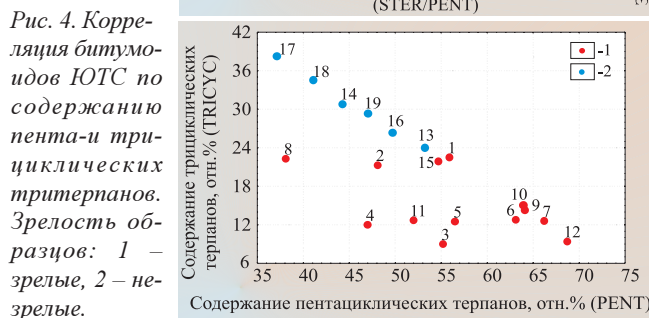


Рис. 4. Корреляция битумоидов IOTC по содержанию пента-и трициклических тритерпанов. Зрелость образцов: 1 – зрелые, 2 – незрелые.

Первая группа. На дендрограмме (Рис. 5), видно, что первую группу образуют образцы 1,2 и 11 из доманиковых отложений Уральминской и Кармалинской площадей. Для этих битумоидов наблюдаются идентичные кривые распределения н-алканов – преобладание относительно низкомолекулярных гомологов с максимумом $n\text{-C}_{16}$ – $n\text{-C}_{17}$. Специфической особенностью является преобладание во всех интервалах молекулярно-массового распределения четных н-алканов ($n\text{-C}_{12}$ – $n\text{-C}_{31}$). В этих образцах значения параметров нечетности (CPI и OEP) существенно меньше единицы для всех диапазонов распределений н-алканов. Подобные значения могут отражать резко восстановительные условия накопления исходного органического материала и незрелость битумоидов. Первое подтверждается низкими значениями отношений пристан/фитан (~0,6); второе – стерановыми параметрами термической зрелости (Рис. 2). Значения пристан/ $n\text{-C}_{17}$ < 0,6, фитан/ $n\text{-C}_{18}$ < 0,25. При близкой зрелости битумоидов величина отношения DIA/REG повышается для образца 2 из терригенных отложений (Рис. 1).

Содержания трициклических терпанов и их распределение с преобладанием C_{23} гомолога – обычное для битумоидов и нефти морского генезиса. Значения отношения C_{23}

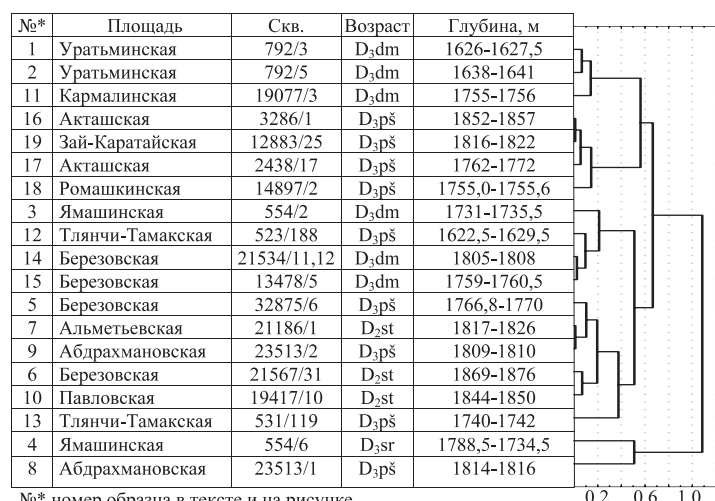


Рис. 5. «Дерево объединения» битумоидов IOTC в кластер методом полной связи.

трициклический терпан/ C_{30} гопан – низкие ($\text{TRI/HOP} = 0,14$ – 0,29). В составе битумоидов первой группы преобладают пентациклические тритерпаны. Значения отношения STER/PENT для образцов 1 и 11 – 0,32–0,39, в то время как для образца 2 из глинистых отложений оно выше (0,64) (Рис. 3).

На основании приведенных результатов можно заключить, что битумоиды генерированы органическим веществом морского происхождения. Материнское ОВ в значительной степени представлено бактериальным материалом. Об этом свидетельствуют низкое содержание стеранов, низкие значения отношения стерана/пентациклические тритерпаны и возможное присутствие 2- и 3-алкилстеранов состава C_{30} . Органическое вещество накапливалось в резко восстановительных условиях при повышенной солености вод, на что указывают низкие значения отношения пристан/фитан, преобладание четных гомологов во всех интервалах молекулярно-массового распределения н-алканов, высокие значения гаммацеранового индекса (GAM/HOP), высокие значения (> 1) гомогопанового индекса (C_{33}/C_{34}).

Характер распределения биомаркеров (низкие значения DIA/REG и Ts/Tm) свидетельствует о том, что битумоиды первой группы генерированы преимущественно карбонатными породами (Рис. 1). Величины стерановых параметров термической зрелости не достигли равновесных значений: $C_{29}\text{S}/(20\text{S}+20\text{R}) = 0,44$ и $0,47$; $C_{29}\alpha\beta\beta(20\text{R})/\alpha\beta\beta(20\text{R}) + \alpha\alpha\alpha(20\text{R}) = 0,63$ и $0,64$. Невысокую зрелость битумоидов подтверждает относительная обогащенность моретанами, низкие значения отношения неоноргопан/норгопан, а также преобладание четных н-алканов над нечетными.

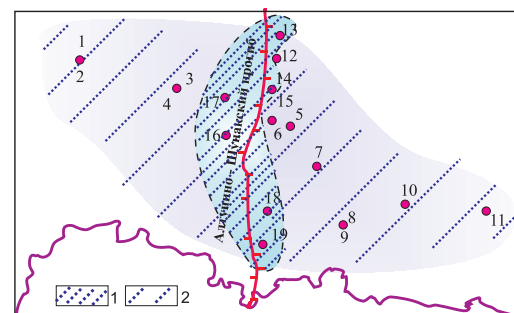


Рис. 6. Зоны распространения битумоидов разной зрелости. 1 – зрелые; 2 – незрелые.

Вторая группа. Вторая группа, как и первая, включает, в основном, образцы битумоидов из доманиковых отложений Ямашинской (3), и Березовской (14, 15) площадей. В эту группу попадает образец (12) из пашийских отложений Тлянчи-Тамакской площади. При значительных различиях отдельных биомаркерных параметров в образцах битумоидов этой группы отмечены низкие значения DIA/REG и Ts/Tm (Рис. 1), что характерно для углеводородов, генетически связанных с ОВ карбонатных материнских пород. В то же время битумоиды сильно различаются по содержанию трии пентациклических тритерпанов (Рис. 3 и 4). Так, в образцах Березовской пл. – $\text{TRI/HOP}=0,62$ и $0,66$, а в Ямашинской и Тлянчи-Тамакской – $0,12$ и $0,15$. В достаточно широких пределах изменяются значения: $\text{hC}_{33}/\text{hC}_{34}$ ($0,89$ – $1,33$), $\text{HC}_{30}/\text{SC}_{29}$ ($0,75$ – $1,23$), STER/PENT ($0,32$ – $0,65$) и $\text{C}_{28}/\text{C}_{29}$ регулярных стеранов ($0,33$ – $0,61$). Образцы 12, 14, 15, приуроченные к площадям, расположенным вблизи Алтунино-Шунакского прогиба, более зрелые по сравнению с образцом 3.

Характер распределения н-алканов различен для всех четырех образцов. Наблюдаемые различия могут отражать как площадные фациальные изменения материнских по-

род, так и влияние процессов миграции и смешивания разнотипных битумоидов. При этом основным источником углеводородов этой группы, по-видимому, все-таки являются карбонатные материнские породы.

Третья группа. Третью группу составляют 4 образца битумоидов пашийского горизонта верхнего девона с Акташской (16, 17), Ромашкинской (18) и Зай-Каратайской (19) площадей. В битумоидах этой группы содержание стеранов относительно пентациклических тритерпанов – невысокое (0,48 – 0,65). Величины соотношения C_{28}/C_{29} регулярных стеранов составляют 0,53 – 0,62. Все образцы содержат C_{30} стераны в заметных концентрациях. Содержание TRI/HOP относительно высокое (0,62 – 1,01). В их распределении преобладает C_{23} гомолог, что характерно для нефти и битумоидов морского генезиса.

Все битумоиды этой группы характеризуются похожими распределениями н-алканов – преобладают гомологии среднего молекулярного веса (максимум – н- C_{20}). В образце (18) максимум сдвинут в более высокомолекулярную область (н- C_{26}). Значения отношений пристан/фитан < 0,6, пристан/н- C_{17} ~ 0,5, фитан/н- C_{18} – 0,79 – 1,14.

Гопановые и стерановые параметры зрелости этих битумоидов соответствуют равновесным значениям. Они являются наиболее зрелыми из исследованных образцов, несмотря на то, что залегают примерно в том же интервале глубин, что и битумоиды других групп (Рис. 2).

Исследования показывают, что битумоиды третьей группы генерированы ОВ морского происхождения, накапливавшимся в восстановительных условиях, и, в отличие от битумоидов первой и второй групп, генетически связаны преимущественно с глинистыми материнскими породами.

Четвертая группа. В четвертую группу условно объединены образцы битумоидов старооскольских и пашийских отложений Березовской (5 и 6), Альметьевской (7), Абдрахмановской (9) и Павловской (10) площадей.

В битумоидах этой группы содержание стеранов относительно пентациклических тритерпанов – низкое ($STER/PENT = 0,32 - 0,55$). В распределении 20R эпимеров $\alpha\alpha\alpha$ -стеранов ($C_{27}:C_{28}:C_{29}$) преобладает C_{27} гомолог. Все образцы содержат C_{30} стераны в заметных концентрациях.

Большая часть битумоидов четвертой группы характеризуется однотипным распределением н-алканов: преобладают гомологии среднего молекулярного веса. Значения CPI и ОЕР близки к 1. Исключение составляет образец (10), специфической особенностью которого является преобладание четных н-алканов в диапазоне низкого и среднего молекулярного веса ($C_{12}-C_{24}$) при том же положении максимума (н- C_{20}). Значения отношений пристан/фитан < 0,6; пристан/н- C_{17} < 0,5; фитан/н- C_{18} – 0,42 – 0,79.

Для всех битумоидов четвертой группы величины отношения (20S)/(20S+20R) эпимеров C_{29} $\alpha\alpha\alpha$ -стеранов существенно ниже равновесных значений, тогда как величины отношения $\alpha\beta\beta(20R)/\alpha\beta\beta(20R)+\alpha\alpha\alpha(20R)$ изомеров C_{29} стеранов близки к равновесным (Рис. 2). Такое несоответствие может быть обусловлено смешением углеводородов из разных источников, претерпевших различные миграционные преобразования. Известно, что на соотношение биогенных геоэпимеров стеранов влияет не только катагенез, но и миграция. В ряде работ замечено, что при миграции нефти через породы наблюдается большая адсорбция биостеранов, т.е. 20R $\alpha\alpha\alpha$ -эпимеров, чем изостеранов. Поэтому уменьшение концентраций этого эпимера может быть след-

ствием не только процесса катагенного созревания, но и хроматографического эффекта (адсорбции) в результате миграции. Все это говорит о том, что битумоиды четвертой группы содержат смесь углеводородов, генерированных разнотипными материнскими породами.

Три образца не отнесены ни к одной из описанных групп. Один – из пашийских отложений Тлянчи-Тамакской пл. (13), характеризуется элементами сходства с битумоидами четвертой группы (Рис. 5). Другой (4) – сингенетичный битумоид Ямашинской пл. Третий (8) с Абдрахмановской пл. отличен от всех изученных образцов по аномально высоким значениям параметров DIA/REG (0,67) и Ts/Tm (1,02), и можно полагать – генетически связан с глинистыми материнскими породами (Рис. 1). Тип исходного ОВ для этого битумоида – преимущественно водорослевый, что следует из высоких (> 1) значений STER/PENT (1,04) и низких значений (< 1) отношения C_{30} гопана к C_{29} стеранам (HC_{30}/SC_{29}).

Распространение в пределах изучаемой территории битумоидов разных групп и не отнесенных ни к одной группе в зависимости от степени их зрелости показано на рис. 6.

Заключение

Результаты проведенных исследований указывают на наличие, по крайней мере, двух разных источников генерации углеводородов, распространенных в пределах изучаемой территории. Одним из них являются карбонатные отложения доманика, другим – терригенные материнские породы в поддоманиковой части разреза.

Анализ данных по распределению н-алканов, ациклических изопренOIDов, стеранов и терпанов позволил выявить закономерности в изменении биомаркерных параметров в связи со стратиграфической приуроченностью и пространственным положением объектов относительно Алтунино-Шунакского прогиба: при примерно одинаковых глубинах залегания наиболее «зрелые» битумоиды приурочены к площадям, расположенным вблизи прогиба. По мере удаления от него как к западу, так и к востоку зрелость образцов уменьшается. Наблюдаемые изменения характера распределения биомаркеров могут обуславливаться подтоком углеводородов из прогиба.

Можно полагать, что аналогичная закономерность будет наблюдаться и в зонах других разломов как следствие подтока глубинных углеводородов, так и в результате влияния катагенных процессов, связанных с глубинным тепловым потоком, исходящим из прогиба.

Литература

Ларочкина И.А. Роль Алтунино-Шунакского прогиба в формировании Ромашкинского и Ново-Елховского месторождений нефти. Тр. V Конгресса нефтегазопром. России, Казань. 2004. 68.

Муслимов Р.Х. Стратегия и тактика освоения нефтяных ресурсов на поздней стадии разведки и разработки. Георесурсы. 3. 2000. 2-10.

Петров Ал.А. Углеводороды нефти. Москва: Наука. 1984.

Трофимов В.А., Корчагин В.И. Нефтеподводящие каналы: пространственное положение, методы обнаружения и способы их активизации. Георесурсы. № 1. 2002.

Троепольский В.И. и др. Поиски залежей нефти, связанных с девонскими грабенообразными прогибами в отложениях терригенной толщи девона на территории Татарии. Битуминозные толщи востока Русской платформы. Сб. Тр. Казань: КГУ. 1973. 22-31.

Христофорова Н.Н., Христофоров А.В., Муслимов Р.Х. Разуплотненные зоны в кристаллическом фундаменте. Георесурсы. 1. 1999. 4-15.

Waple D.W., Machinara T. Application of sterane and triterpane biomarkers in petroleum exploration. Bulletin of Canadian petroleum geology. 3. 1990. 357-380.